

# miRNA, Régulations post-transcriptionnelles et Cancer

*Stéphan*  
**VAGNER**

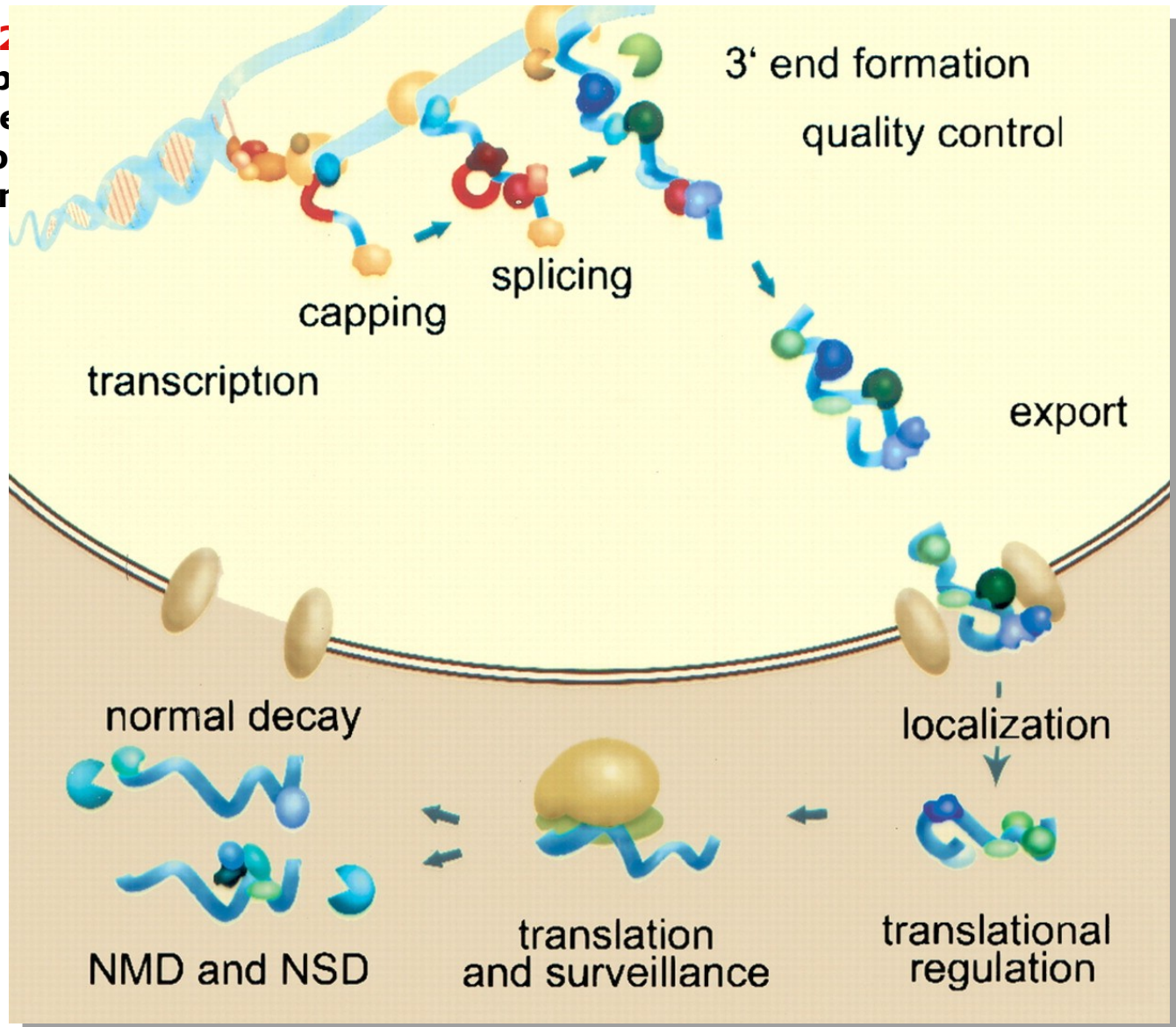


**INSERM U981/IGR**

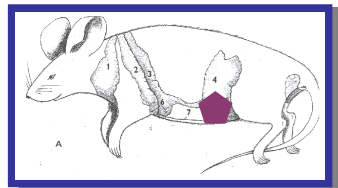
# Post-transcriptional control of gene expression

« Putting translation before transcription »,  
Cancer Cell, 2004

**Early step  
in a gene  
expression  
program**

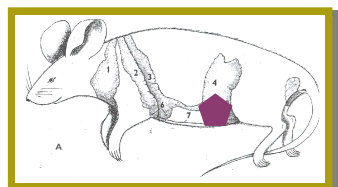


# A Mouse Mammary Tumor Model of Metastasis Development



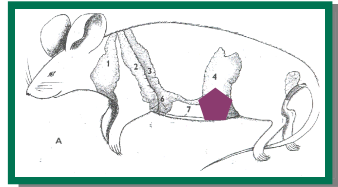
**67NR**

No  
metastasis



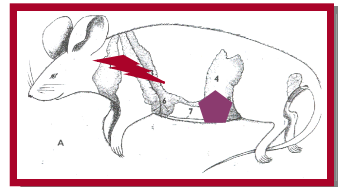
**168FARN**

Micrometastasis  
Lymph node



**4T07**

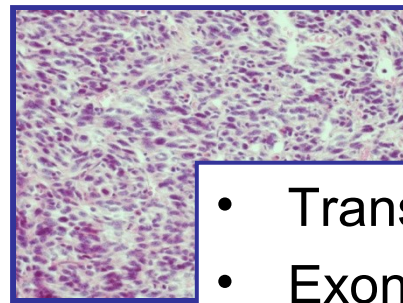
Micrometastasis  
Lung



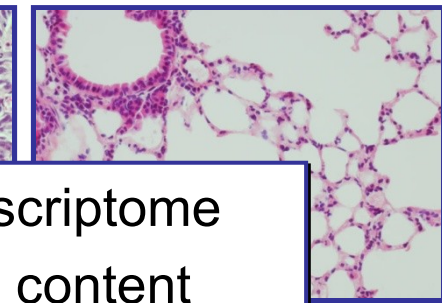
**BALB/c**

Fred Miller  
(Michigan Cancer Foundation)

Primary tumor



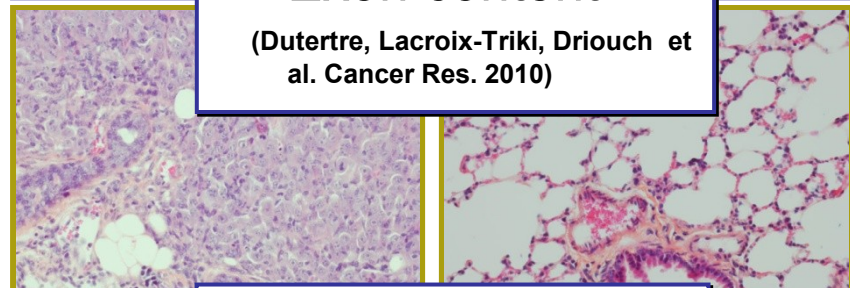
Lung



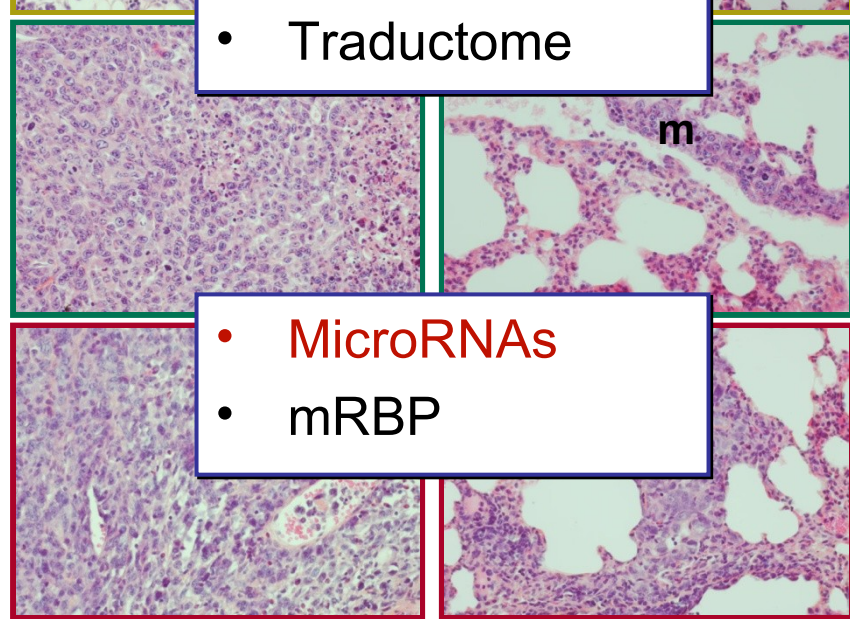
- Transcriptome
- Exon content

(Dutertre, Lacroix-Triki, Driouch et al. *Cancer Res.* 2010)

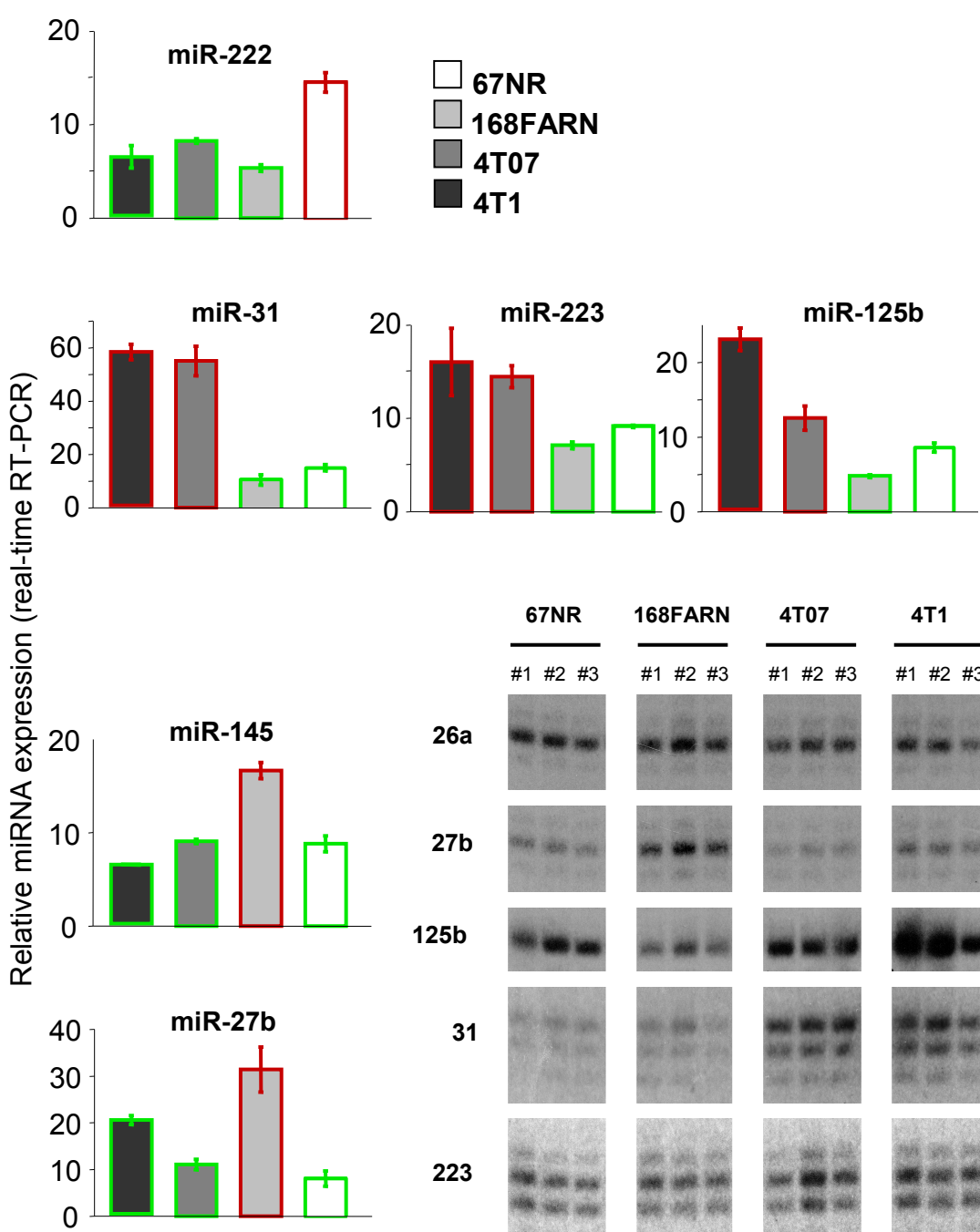
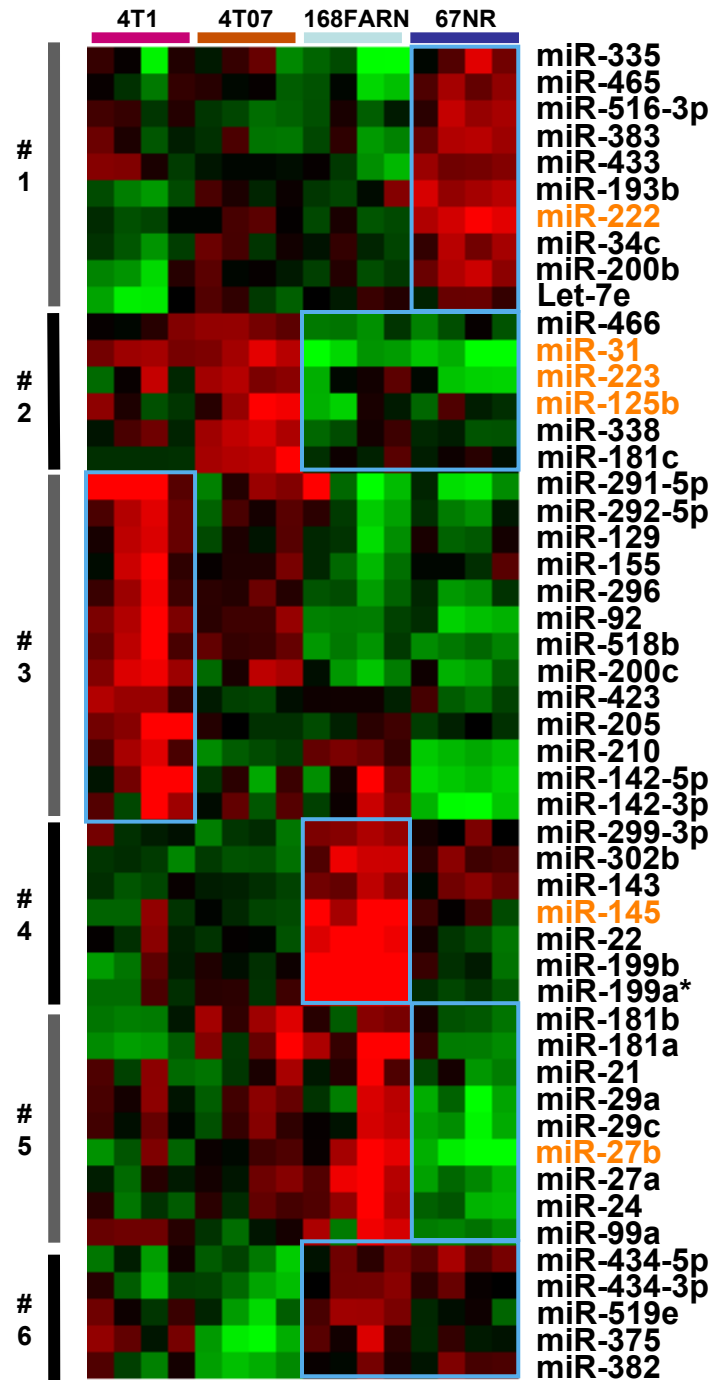
- Traductome



- MicroRNAs
- mRBP

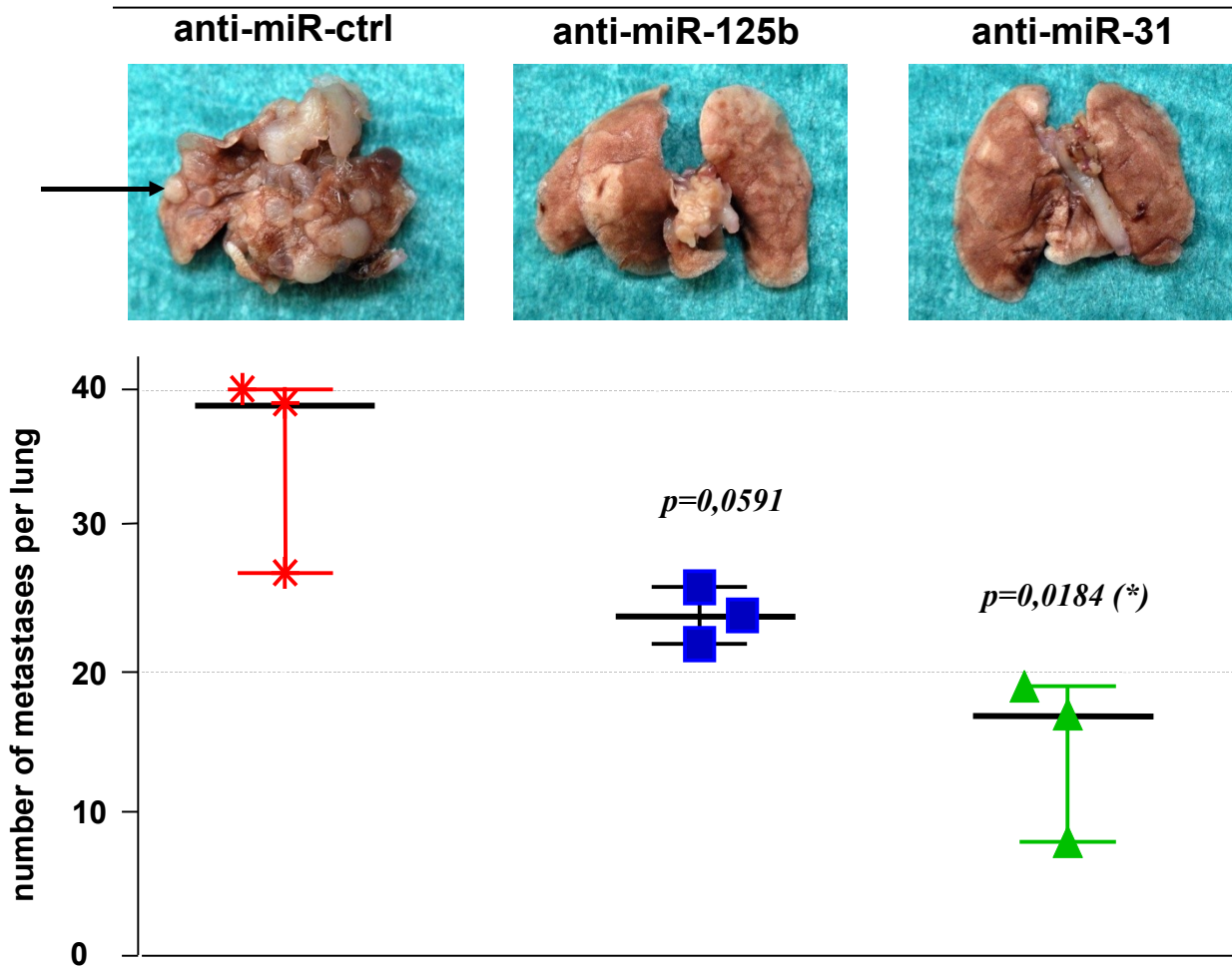


Robert Weinberg  
*Transcriptome (Cell 2004)*

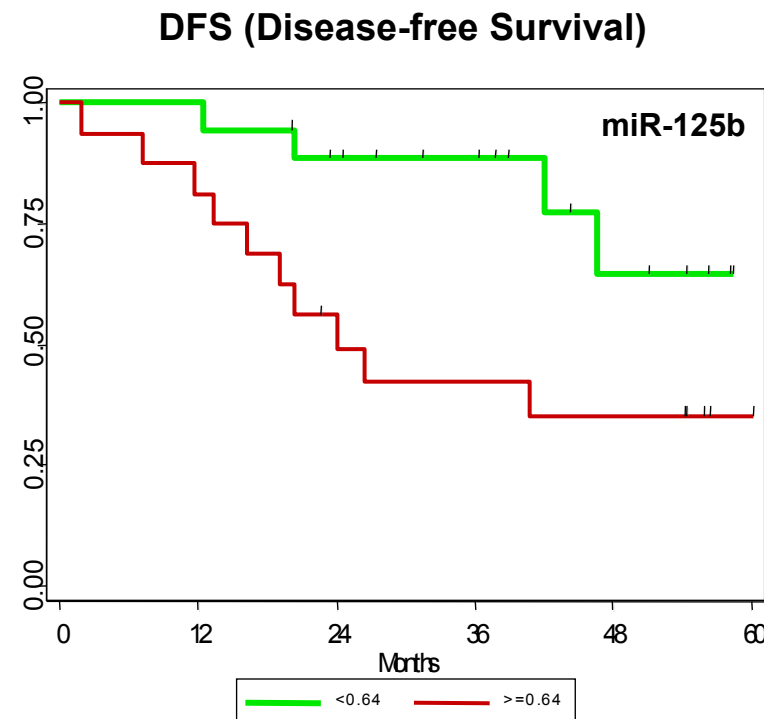
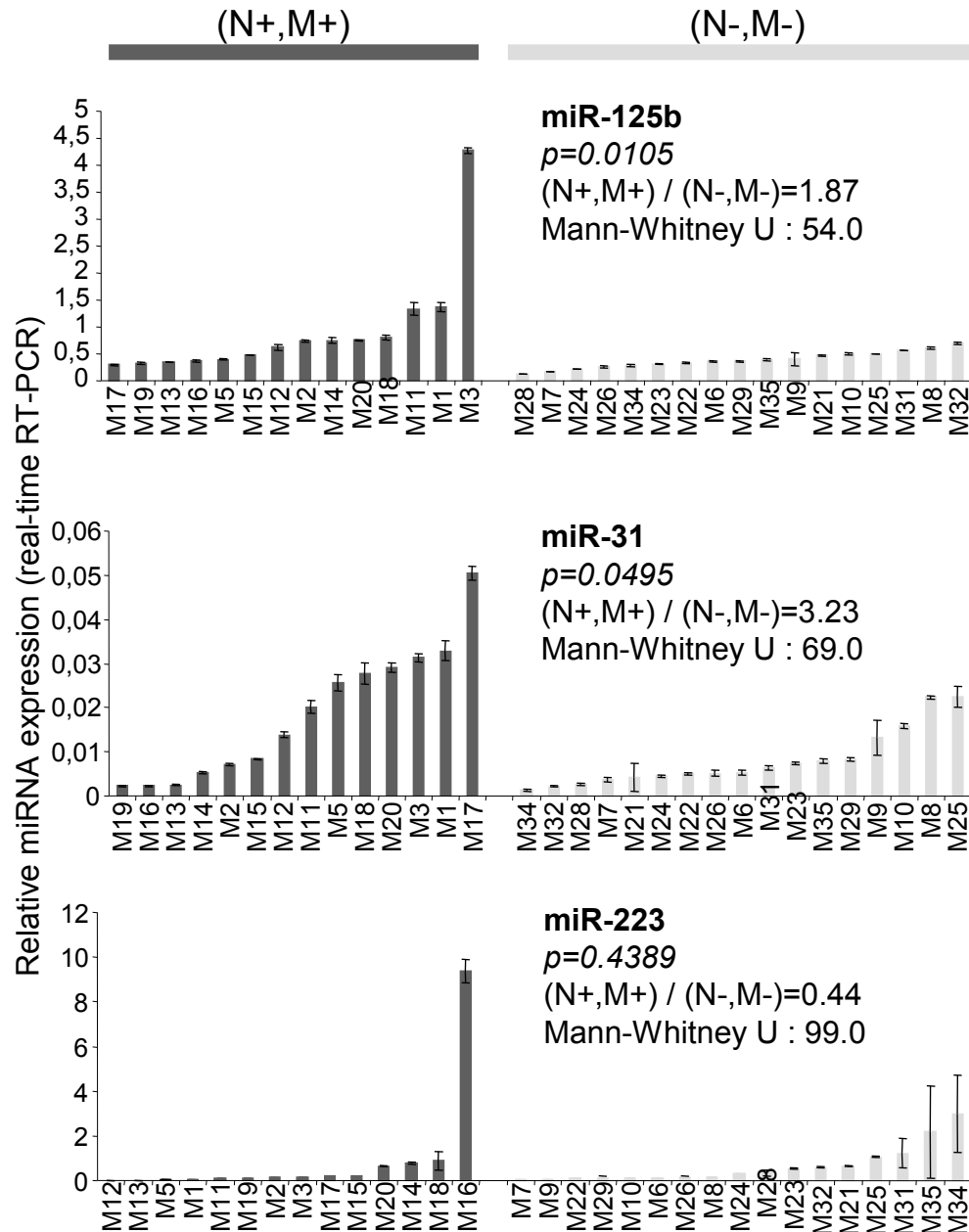


# *In vivo* metastasis formation (extravasation)

4T1

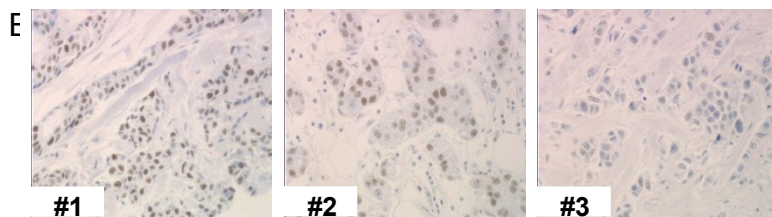
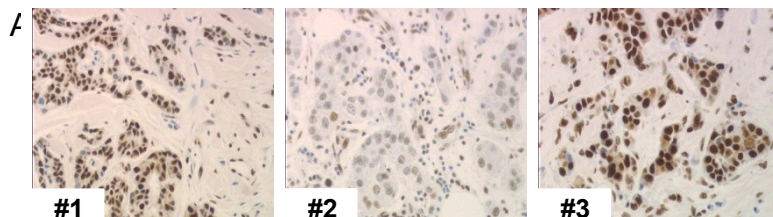
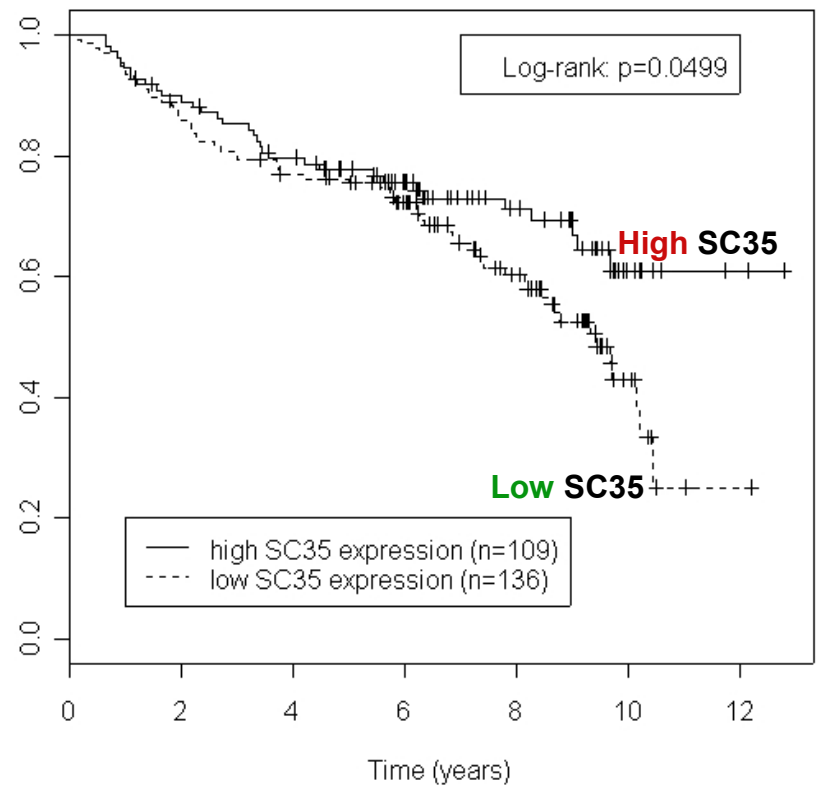
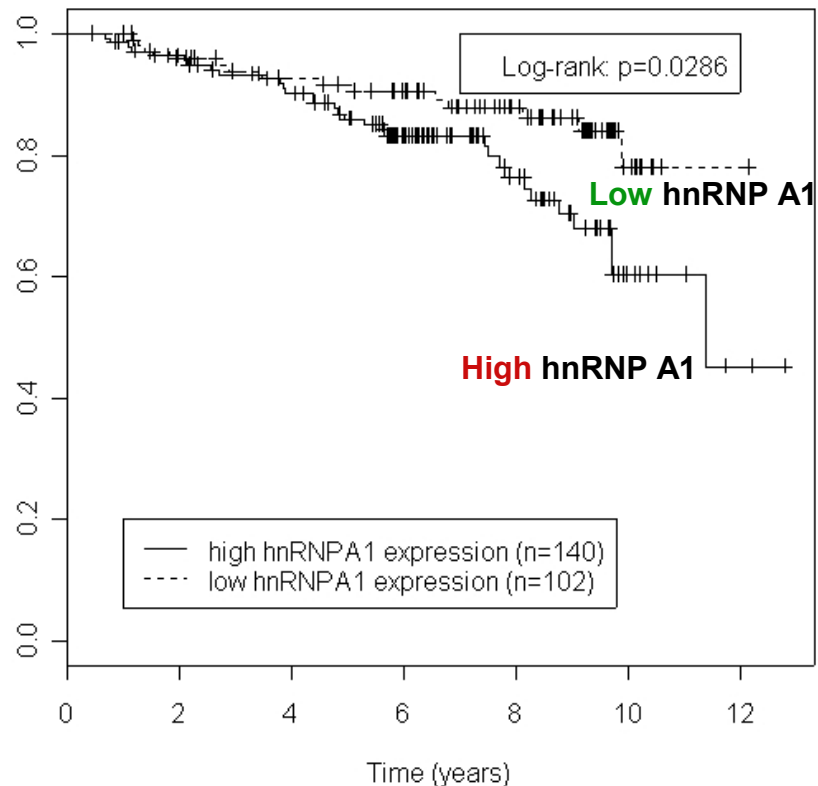


# Expression in breast tumors (ICR n=34 serie)



# mRNA Binding Protein (2/6) Expression is Associated with Metastatic Relapse

**Metastatic relapse probability (Kaplan-Meier)/  
Tissue microarray: 277 human breast tumors specimen (ICR)**



# PHÉNOTYPAGE MOLÉCULAIRE DES CANCERS DU SEIN EN COURS DE GROSSESSE

Dr Bénédicte Lesieur

Dr Alice Trefoux, Dr Martine Antoine, Dr Lise Selleret, Dr Sonia Zilberman,

Pr Roman Rouzier

Hôpital TENON, Paris UPRES EA 4053 Paris 6

# Etude cas-témoin

- Etude rétrospective
  - } 121 patientes âgées de < 43 ans
  - } carcinomes invasifs
  - } 3 groupes
    - CSAG : n = 17 (15 % )
    - nullipares : n = 32 (26 % )
    - CSnAG : n = 72 (59 % )
- Données cliniques
  - } histologie et immunohistochimie de routine
  - } type de traitement
  - } survie
- Réalisation d'un tissue microarray (TMA)
  - } panel de 17 marqueurs : RH, cytokines, marqueurs de prolifération
  - } marquage HLA-G (Ac primaire MEM-G / O2 : IgG1)
  - } analyse de l'informativité du TMA et des marqueurs utilisés

# Résultats cliniques

	<b>CSAG</b>	<b>CSnAG</b>		<b>Nullipares</b>	
Taille au diagnostic					
T0-T1	5 (29 % )	25 (35 % )	NS	15 (47 % )	NS
T2-T4	12 (71 % )	42 (65 % )		17 (53 % )	
Taille histologique (mm)	20 (6-100)	22 (0-120)	NS	20 (4-180)	NS
Grade SBR					
1-2	5 (29 % )	41 (57 % )	<b>P=0,041</b>	17 (53 % )	NS
3	12 (71 % )	31 (43 % )		15 (47 % )	
RE					
Positifs	6 (35 % )	61 (85 % )	<b>P&lt;0,01</b>	22 (69 % )	<b>P=0,024</b>
Négatifs	11 (65 % )	11 (15 % )		10 (31 % )	
Her2 +	5 (29 % )	9 (12 % )	P = 0,08	10 (31 % )	NS
Triple Négatif	9 (53 % )	68 (11 % )	<b>P&lt;0,01</b>	6 (19 % )	<b>P=0,01</b>
TTT Radical	13 (76 % )	41 (57 % )	NS	18 (55 % )	NS

# Niveau d'expression des marqueurs sur TMA

	CSAG	CSnAG		Nullipares	
	n = 25	n = 58		n = 29	
<b>RE</b>	<b>24,1</b>	<b>60,1</b>	<b>0,003</b>	49,5	NS
<b>RP</b>	<b>16,8</b>	<b>43,2</b>	<b>0,021</b>	31,8	NS
Bcl2	35,6	55,1	NS	51,1	NS
<b>EGFR</b>	<b>22,4</b>	<b>3,6</b>	<b>0,015</b>	19,6	NS
CK5	0,7	0,6	NS	0,3	NS
<b>CK18</b>	<b>60,2</b>	<b>79,8</b>	<b>0,033</b>	74,3	NS
E Cadhérine	47,2	52,7	NS	54,1	NS
P Cadhérine	30,1	20,4	NS	30,3	NS
p53	24,9	13,8	NS	18,9	NS
p63	2,1	2,5	NS	1,6	NS
C-kit	19,1	10,7	NS	13,6	NS
<b>Vimentine</b>	<b>16,6</b>	<b>7,8</b>	<b>0,028</b>	13,4	NS
Cox2	14,5	15,8	NS	19,7	NS
<b>Prolactine R</b>	<b>10,5</b>	<b>49,5</b>	<b>&lt;0,001</b>	<b>38,3</b>	<b>0,024</b>

# Conclusion

- Les CSAG ne semblent pas présenter un phénotype moléculaire spécifique
- Nécessité d'étude de profils d'expression génique sur des populations larges
- Utilité du réseau CALG afin de colliger les cas et pouvoir mener une étude de puissance suffisante
- Limites ++ des modèles animaux
  - } souris mutées: prédisposition à un sous-type moléculaire

# C A L G : Cancers Associés à La Grossesse

- Coordination d'un réseau national dans le cadre de l'appel d'offre INCA: Structuration nationale pour la prise en charge des cancers rares de l'adulte
- Réseau national en structuration :  
**INCA/CNGOF**
- But :
  - { aider à une prise en charge homogène et optimale des patientes sur le territoire national
  - { soutenir les travaux cognitifs de recherche biologique autour de la thématique des cancers associés à la grossesse (pharmacocinétique, oncogenèse, registres )

## Molecular and Cellular Biology of Breast Cancer

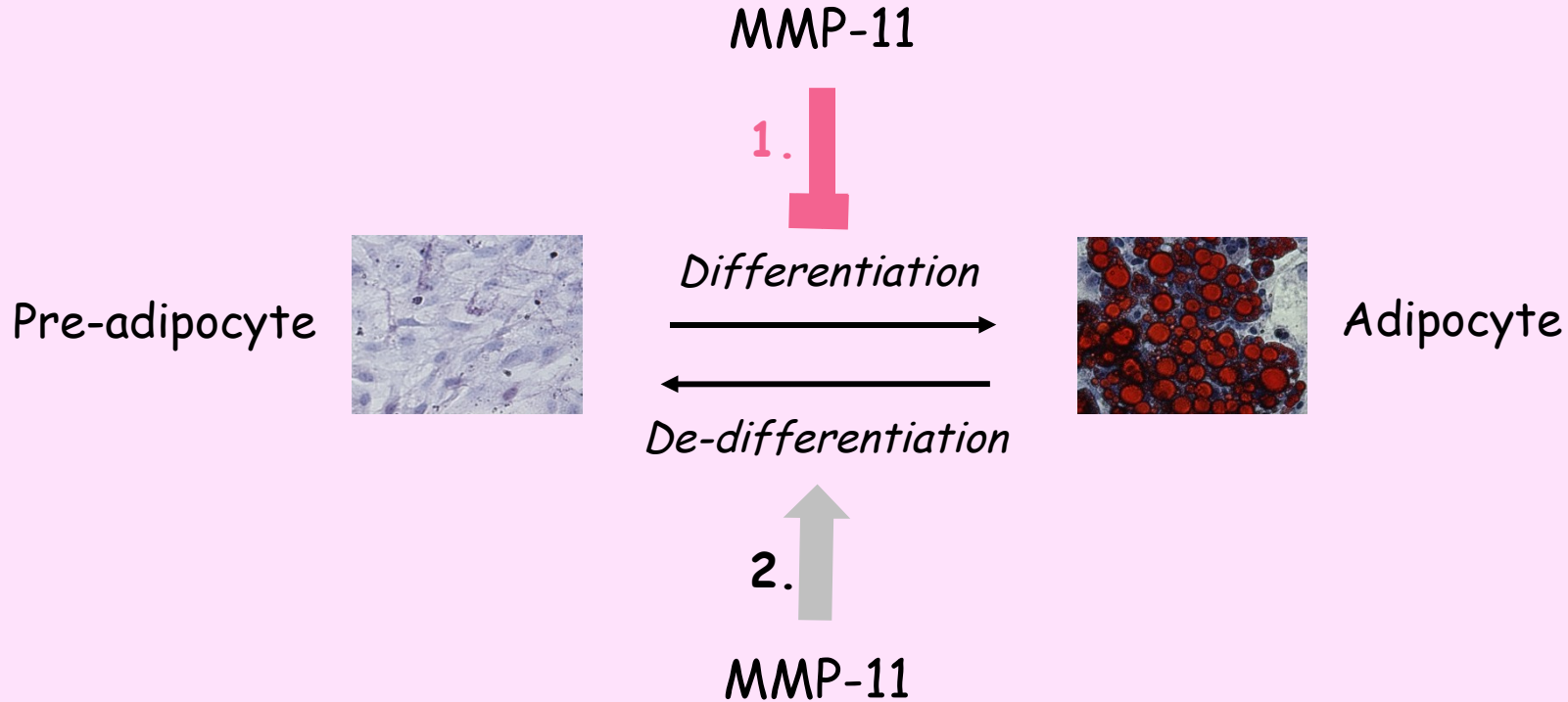
*Marie-Christine RIO & Catherine TOMASETTO*

# Cancer Cell - Adipocyte Crosstalk: Role of Matrix Metalloproteinase-11 (MMP-11)

**Emilie BUACHE**

*32èmes Journées de la Société Française  
de Sénologie et de Pathologie Mammaire  
- Strasbourg (03/05 novembre 2010) -*

# Conclusion : MMP-11 negatively regulates fat homeostasis



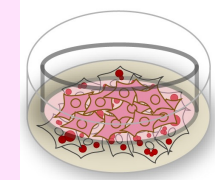
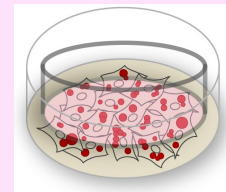
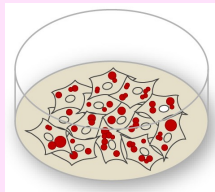
1. By lowering pre-adipocyte differentiation
2. By favoring adipocyte de-differentiation



# The Co-culture with Breast Cancer Cells leads to a Delipidation of Adipocytes

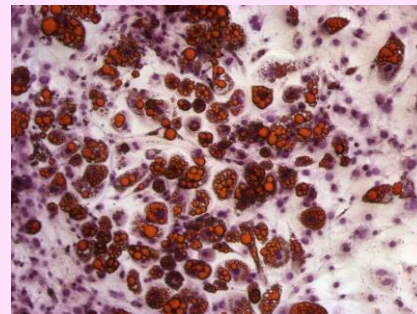
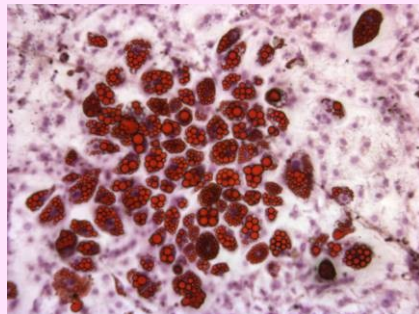
## Oil Red Staining

Differentiation status  
of 3T3L1 cells

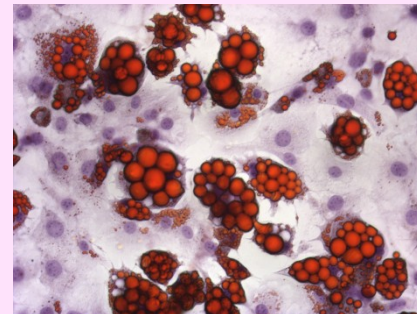
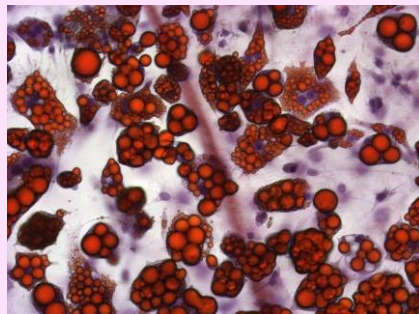


**Numerous Lipid Droplets**

X 10

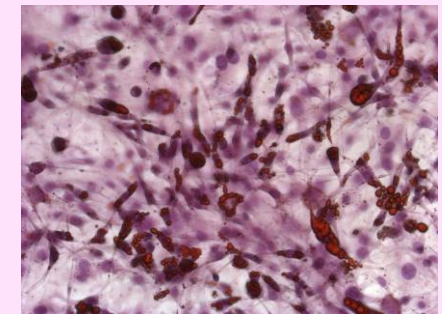
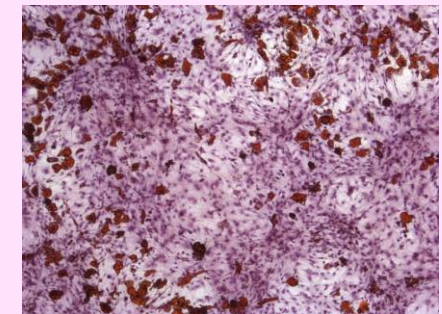


X 20



**Reduced**

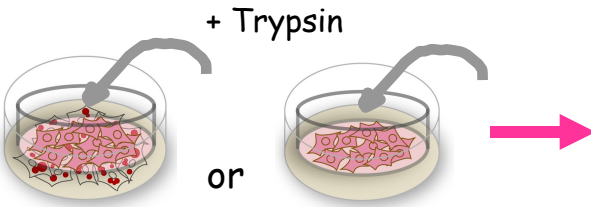
**Number and Size  
of Adipocytes**



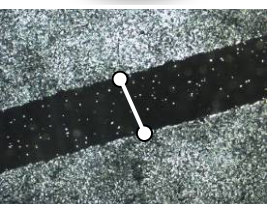
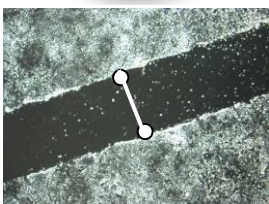
# The Co-Culture leads to an Increase of Cancer Cell Migration & Invasion

## Protocol

Co-culture step



$t = 0$



$t = 15h$



## Wound Healing Assay

6 well plates

15h culture

- Matrigel

= Migration

+ Matrigel

= Invasion



## Boyden Chamber Assay

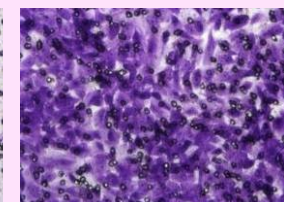
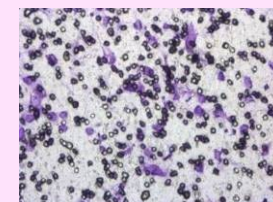
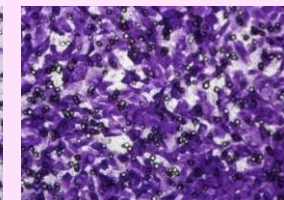
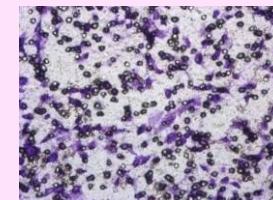
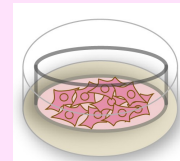
Porous filter 8  $\mu$ m

+/- Matrigel Coating (10  $\mu$ g)

100 000 cancer cells

24h culture

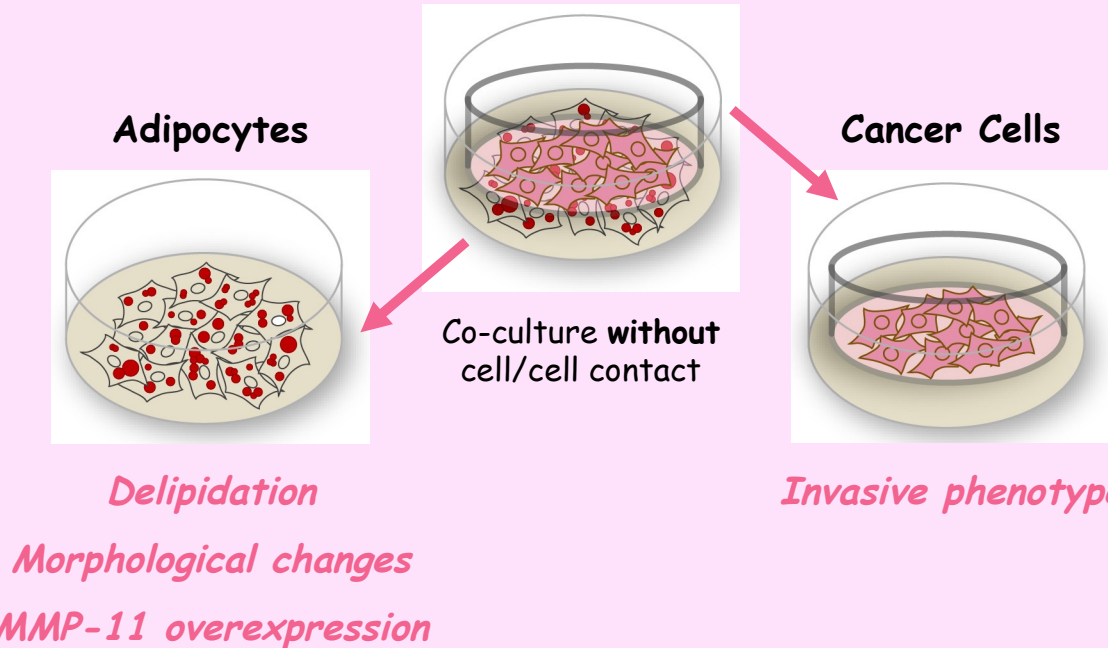
Crystal violet staining



# Conclusions & Perspectives



Real bidirectional crosstalk between adipocytes & cancer Cells



For the Future...

*Molecular Mechanisms behind MMP-11 Function*

- 1) Unbiased approach (Proteomic & Transcriptomic levels)
- 2) Targeted approach
- 3) *In vivo* analysis of the identified molecules at invasive front of human breast tumor

# Société Française de Sénologie et de Pathologie Mammaire

.....www.senologie.com



## Tissu adipeux, lipidome et cancer du sein de l'alimentation au microenvironnement tumoral

*Philippe Bougnoux*

INSERM U921  
"Nutrition, Croissance et Cancer"  
Centre Henry S. Kaplan  
CHU Bretonneau  
Tours

[bougnoux@med.univ-tours.fr](mailto:bougnoux@med.univ-tours.fr)

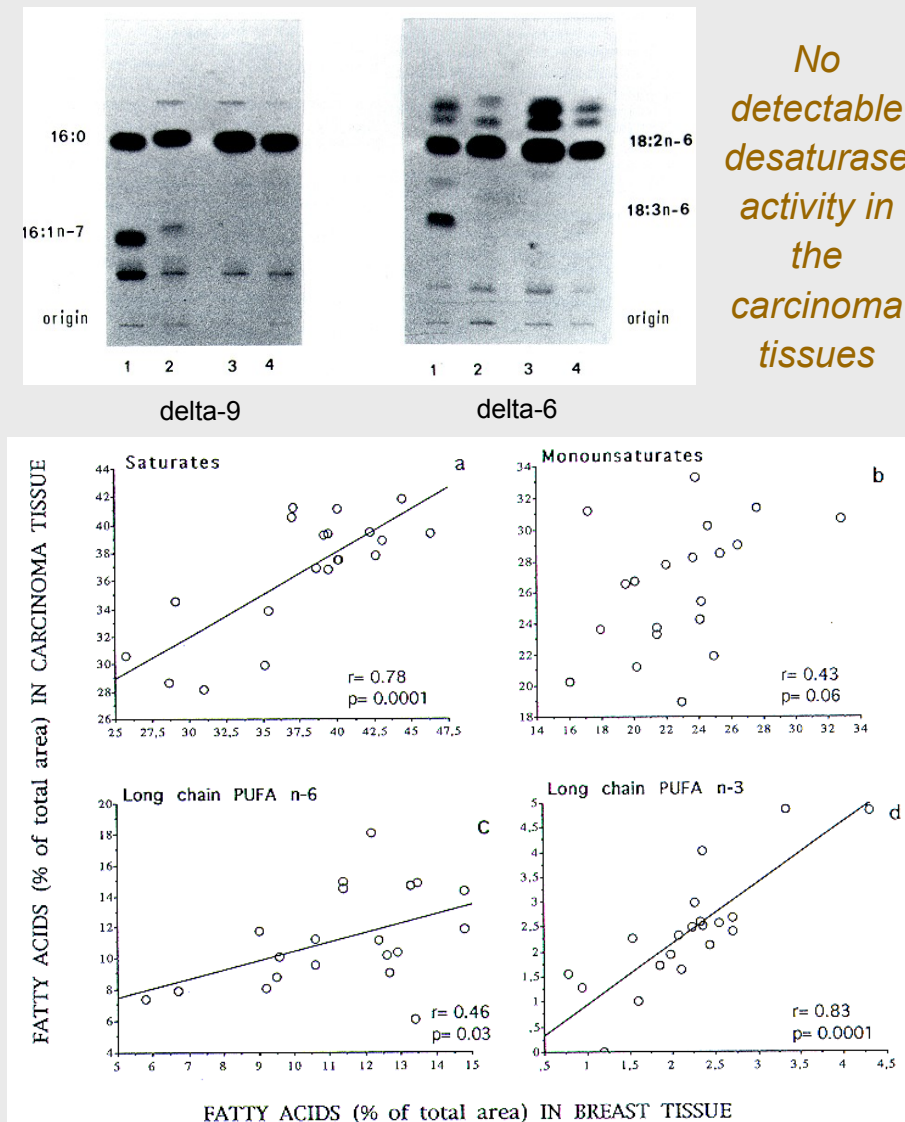
# What are the determinants of tumor lipid profile ?

Fatty acid	carcinoma	non-tumor breast tissue	p value *
	Mean†(n=53)	Mean (n=26)	
<b>Saturates</b>			
16:0 (palmitic acid)	18.7	19.3	NS &
18:0 (stearic acid)	15.9	15.9	NS &
total saturates	36.2	37.9	NS &
<b>Monounsaturates</b>			
16:1 (palmitoleic acid)	2.1	1.2	0.0009
18:1 (oleic acid)	22.1	17.9	0.0001
total monounsaturates	27.5	22.6	0.0001
<b>Polyunsaturates n-6</b>			
18:2 n-6 (linoleic acid)	8.7	9.6	0.04
20:4 n-6 (arachidonic acid)	9.2	10.2	NS &
total n-6	20.5	21.8	NS &
<b>Polyunsaturates n-3</b>			
18:3 n-3 ( $\alpha$ -linolenic acid)	0.1	0.4	0.0001
22:5 n-3 (docosapentaenoic acid)	0.6	0.6	NS &
22:6 n-3 (docosahexaenoic acid, DHA)	1.3	1.2	NS &
total n-3	2.2	2.6	NS &

† % of total fatty acids, aldehydes 12%, NI 2%

\* Mann-Whitney test; &NS : not significant

Lipid profile of carcinoma is close –but distinct – to that of non tumor, epithelial breast tissue



Carcinoma and non tumor fatty acid levels are correlated

Chajes et al, Int. J. Cancer, 1995

The similar fatty acid composition indicates that a common causal factor may be operating. Diet is an obvious candidate.

No detectable desaturase activity in the carcinoma tissues

## Case-control study on adipose tissue

- 241 patients with invasive, non metastatic breast cancer (**cases**)
- 88 patients with benign, non proliferative tumor (**controls**)
- Adipose breast tissue sampled at diagnosis during surgery
- fatty acid composition of adipose tissue**
- Multivariate analysis

### Estimated relative risk of breast cancer by levels of n-3 and n-6 fatty acid in adipose tissue (n = 329)

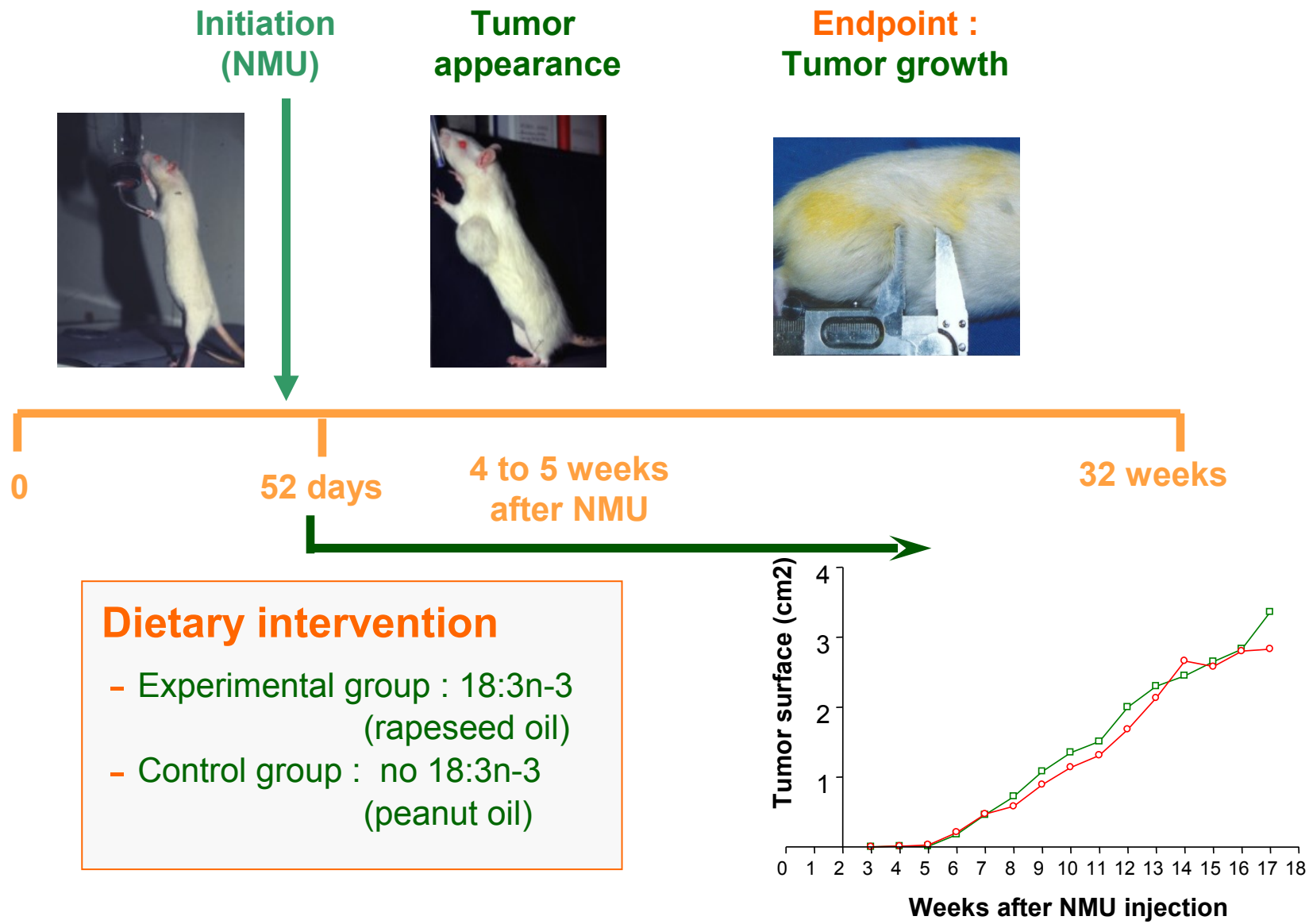
Fatty acids	Odds ratio (95% CI)			P for trend
	1st Tertile (low)	2 <sup>nd</sup> Tertile	3 <sup>rd</sup> Tertile (high)	
18:2 n-6c	1.00	1.60 (0.76-3.36)	2.31 (1.15-4.67)	0.06
18:3 n-3	1.00	0.97 (0.50-1.90)	0.39 (0.19-0.78)	0.01
22:6 n-3	1.00	0.84 (0.40-1.75)	0.31 (0.13-0.75)	0.016
Total n-3	1.00	0.91 (0.45-1.87)	0.40 (0.17-0.94)	0.001
<b>Ratios</b>				
18:3n-3/18:2n-6	1.00	0.89 (0.46-1.75)	0.41 (0.20-0.81)	0.0004
Long chain n3/total n-6	1.00	0.48 (0.23-0.97)	0.33 (0.17-0.66)	0.0002

Adjusted for age, height, BMI, menopause (pre- and post) and menopausal status-BMI interaction.  
Test for trend performed by using the means within each category in the logistic regression model.

Maillard V. et al, Int J Cancer, 2002

Adipose tissue lipids predict breast cancer risk:  
Omega-3 PUFA (ALA and DHA) in adipose tissue are inversely associated with the risk of breast cancer ..... **causality ?**

# Dietary intervention study in the rat



*No effect of the 18:3 dietary intervention on tumor growth*

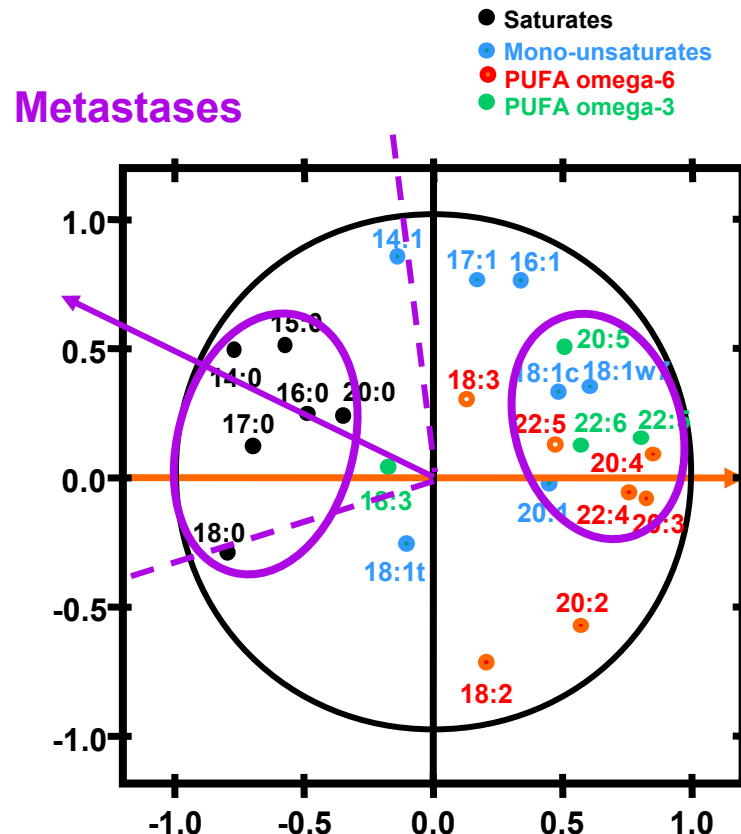
Cognault et al, 2000; Maillard et al., 2006

# Lipidomic profile and the risk of metastases

## Multivariate analysis of prognostic factors

Prognostic factor		Relative Risk	CI 95%	p
Tumor size (mm)	< 20	1.0		
	20 – 50	2.7	(1.4 – 5.6)	0.005
	> 50	2.4	(1.5 – 3.9)	< 0.001
Positive nodes	0	1.0		
	1 - 4	0.7	(0.4 – 1.3)	ns
	> 5	3.3	(1.8 – 6.0)	< 0.001
1st principal component		0.9	(0.8 – 0.97)	0.014

*The first principal component is an independent covariate associated with a low risk of metastases*



*A protective profile combines low levels of saturates with high levels of long chain polyunsaturates*

# Modification of the lipidome through decreased dietary ω-6 / ω-3 ratio (DHA)



Sprague-Dawley rats

- Initiation (NMU)
- 7 % peanut/rapeseed
- 2 nutritional groups (supplement)
  - saturates (8 % palm oil)
  - DHA (8 % DHASCO)

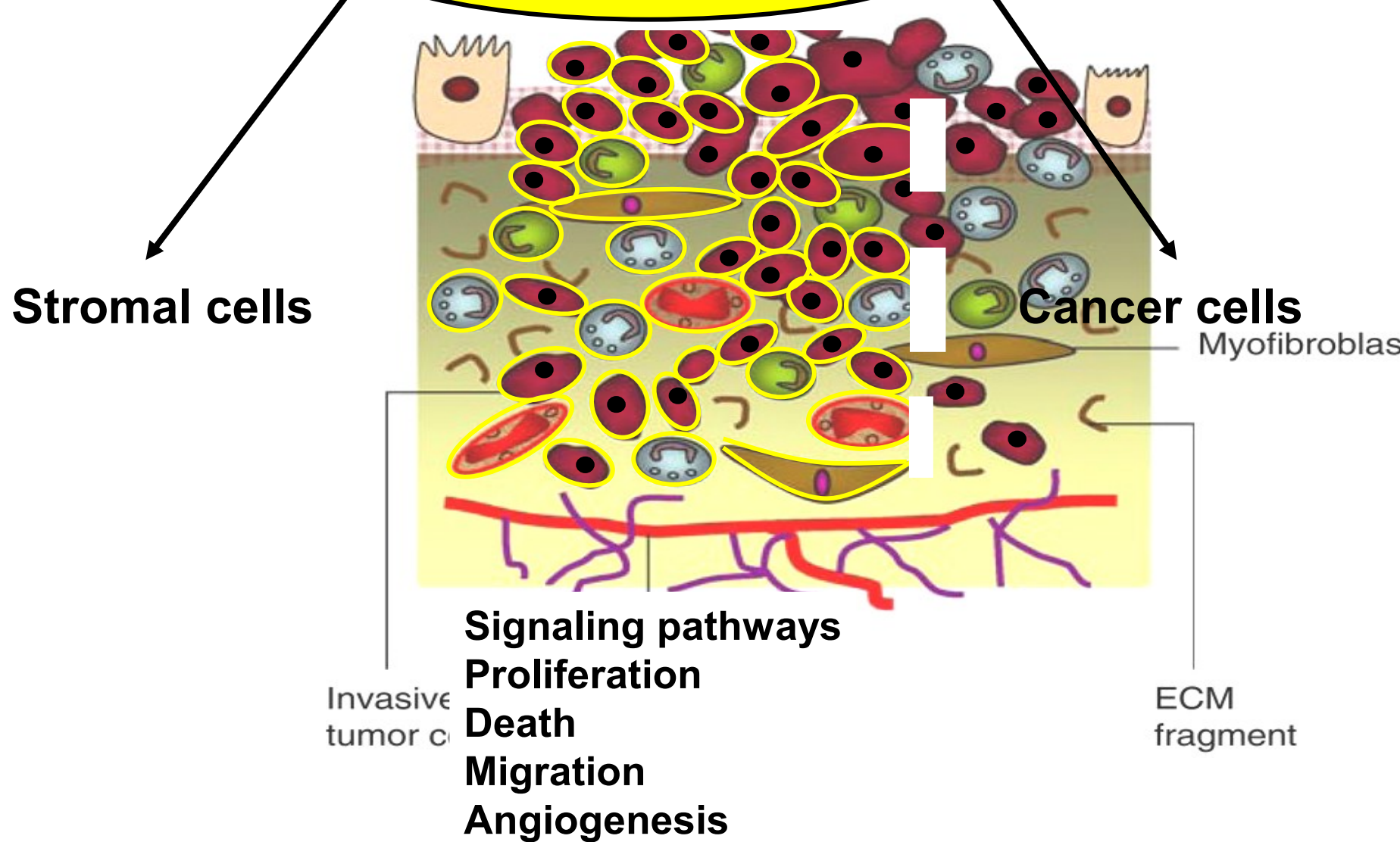
Adipose tissue sampled at autopsy

Fatty acids analyzed by GC

Fatty acids (% area)	Adipose tissue TGL	
	Control (n=7)	DHA-supplemented (n=6)
	Mean (%)	Mean (%)
<b>Saturates</b>		
16:0	22.9	20.8
18:0	2.8	3.4
Total	27.0	28.9
<b>Monounsaturates</b>		
18:1n-9c	52.7	43.8
Total	57.9	48.9
<b>n-6 PUFA</b>		
18:2n-6c	12.2	11.1
Total	12.7	11.3
<b>n-3 PUFA</b>		
18:3n-3	0.6	0.8
22:6n-3	0.1	8.2
Total	0.7	9.3

*18:3 or DHA supplementation do not bring about an adequate coordinate change in the lipid profile*

# Lipidome



# Détection des CTC

Challenge:

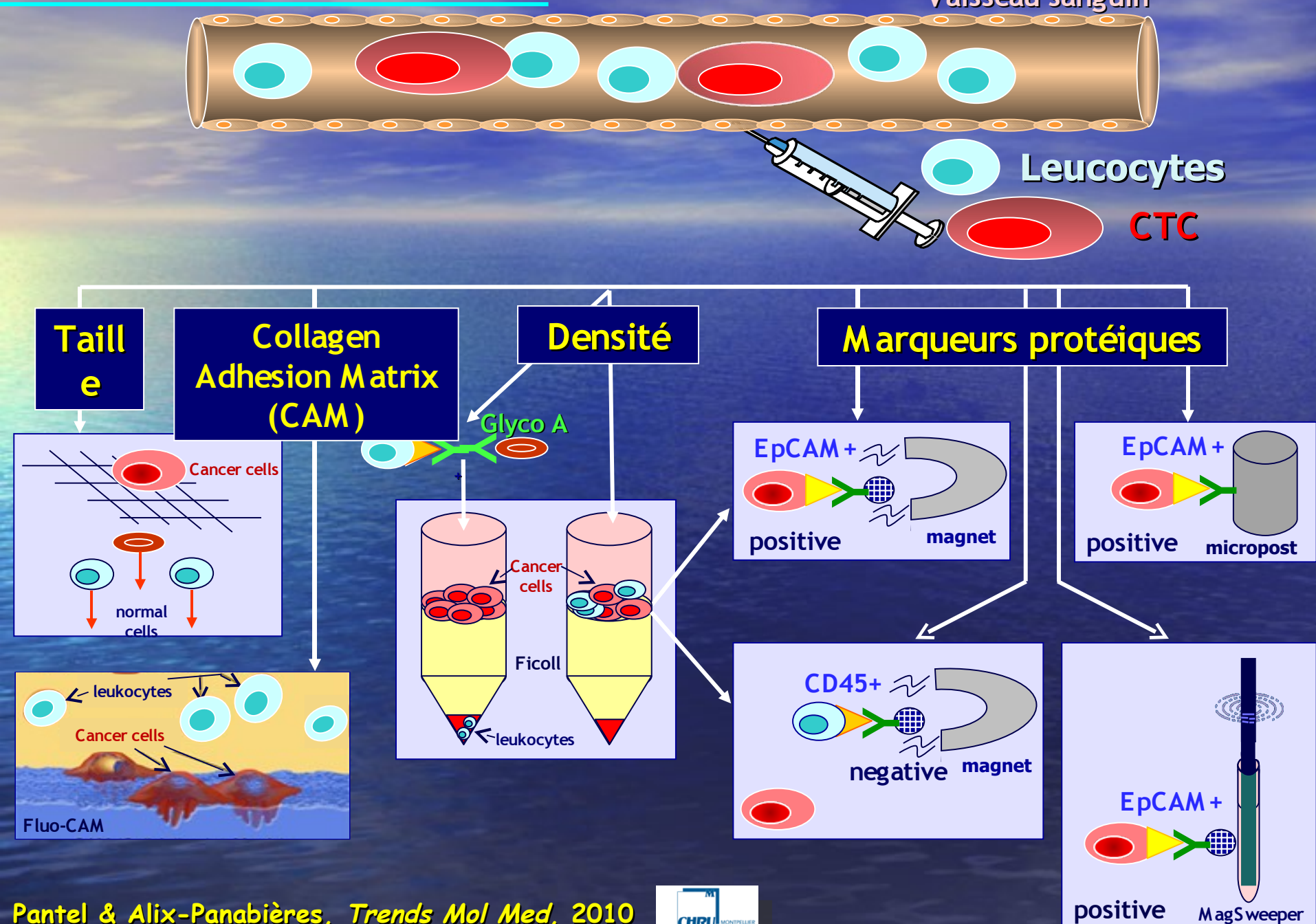
Déte~~c~~ter *une* cellule tumorale

parmi 10 – 10 cellules

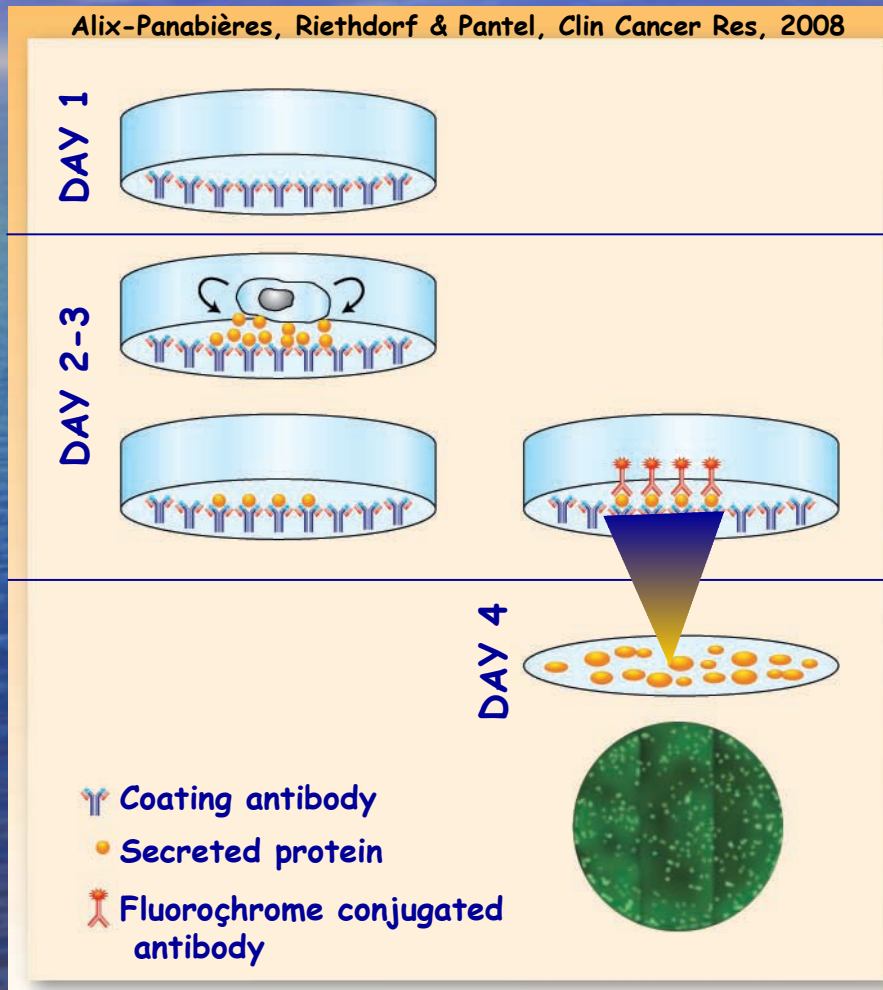


EVENEMENTS RARES !

# Enrichissement des CTC



# EPISOT : Culture cellulaire & Détection de CTC/DTC vivantes sécrétrices de protéines



Alix-Panabières et al., Clin Cancer Res, 2008

# Cancer du sein: Technique double CK19/MUC1-EPISPOT



Patients	Patients positifs (%)
M (n = 20)	90
M (n = 37)	54
<sup>1</sup> Groupe Control (n = 10)	0

( $p = 0.01$ )

Potentiel Biologique particulier

\*Gudjonsson et al. (Gene & Dev. 2002) ont suggéré que les cellules MUC1 /

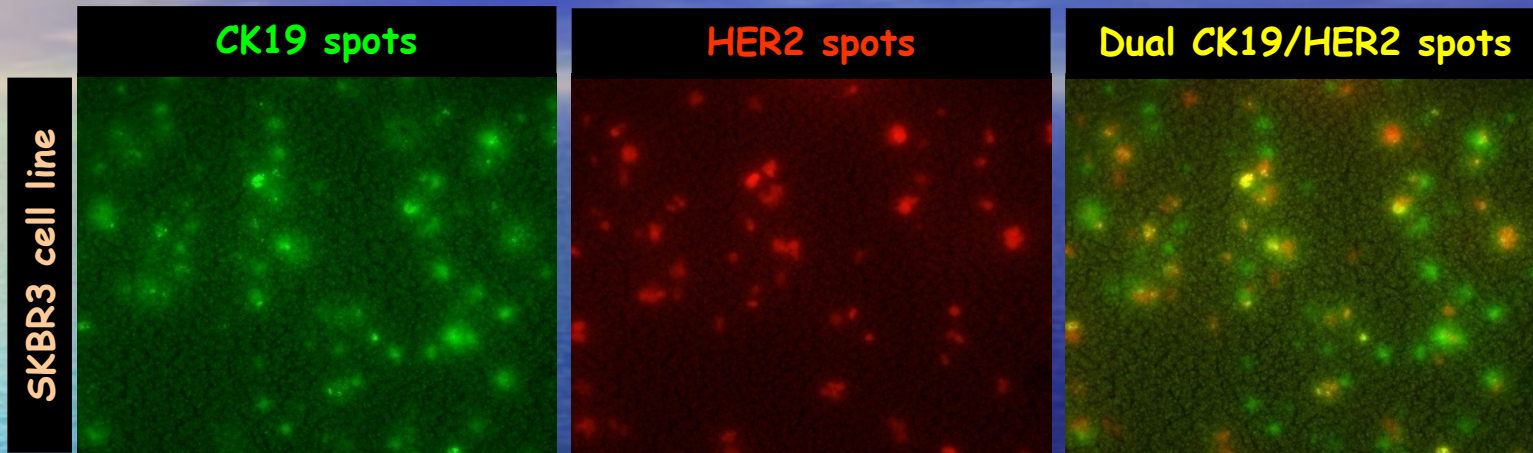
CK19 pourraient avoir des

	CK19 + /MUC1 +	CK19 - /MUC1 -	CK19 + /MUC1 -	CK19 - /MUC1 +
M Total nDTC	2011	1395	198	1
M Total nDTC	90	597	2	0

Alix-Panabières et al., Clin Chem 2007

# Breast Cancer: CK19/HER2-EPISOT assay

## CK19/HER2-EPISOT assay



CTC vivantes peuvent sécréter Her2.

Evénement rare chez des patientes en stade avancé du  
cancer du sein

4/91 (4.4%)

DETECT

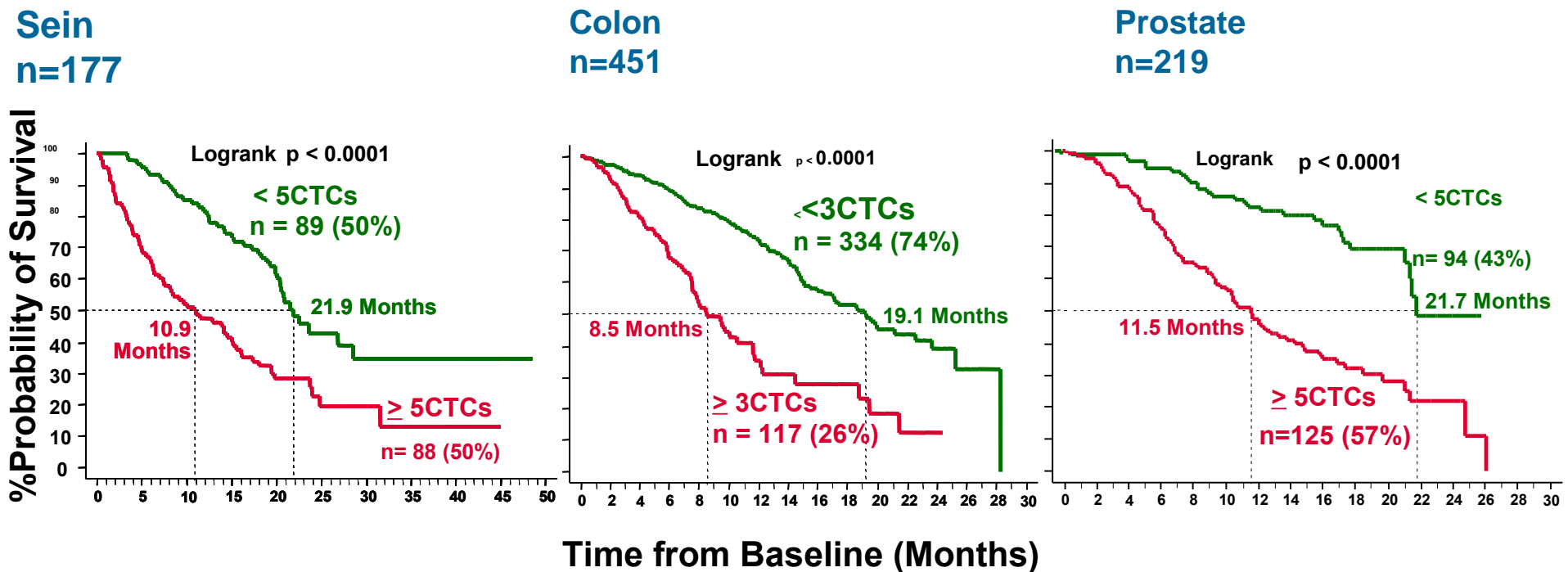
Alix-Panabières et al.

# **Cellules tumorales circulantes: intérêt pronostique**

**Jean-Yves Pierga**  
Département d'Oncologie médicale  
Institut Curie

# Technique Cellsearch

## Taux de CTC avant traitement: facteur pronostique pour la survie globale au stade métastatique



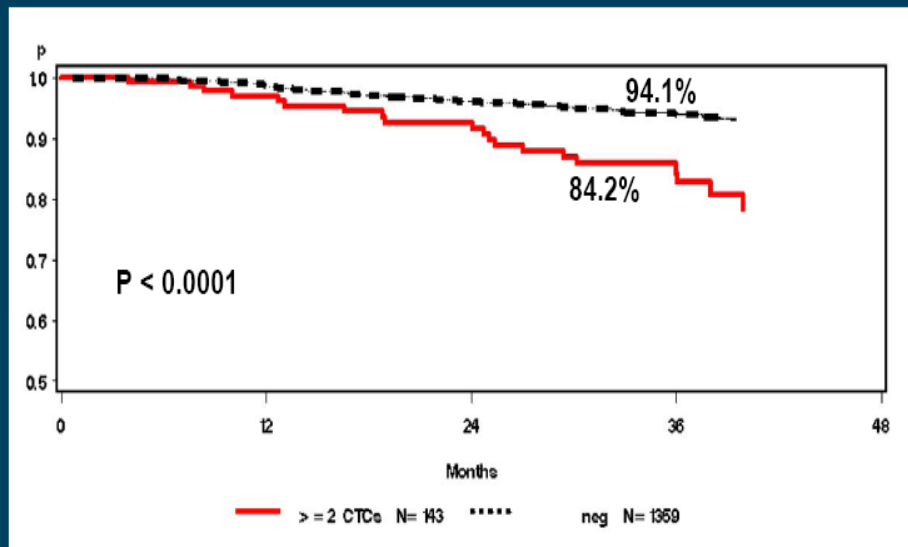
Cristofanilli et al  
NEJM August 2004  
JCO March 2005

Cohen et al  
JCO July 2008  
Cohen, Ann Oncol 2009

De Bono et al  
CCR October 2008

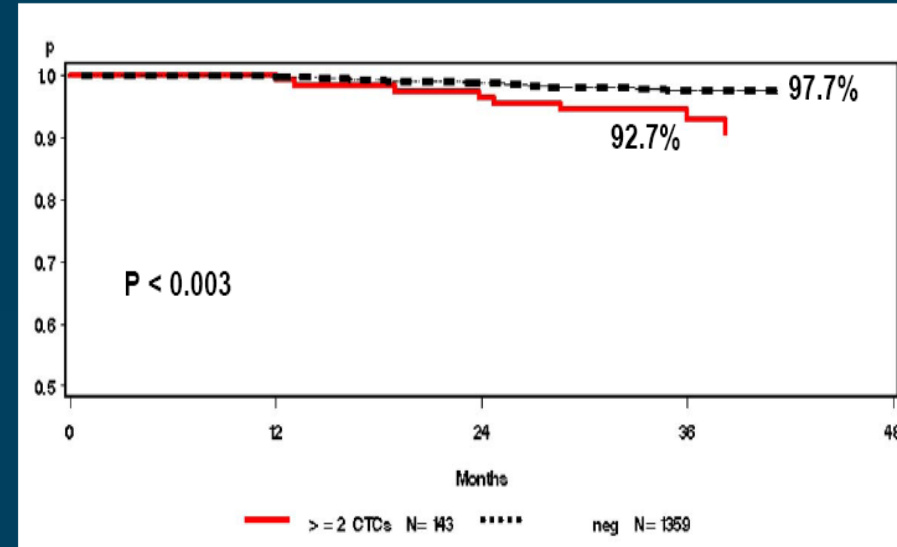
# Impact pronostique des CTC avant et après une chimiothérapie adjuvante dans le cancer du sein : SUCCESS trial (*Rack et al, ASCO 2010*)

## CTCs before Chemotherapy Disease-Free Survival



	CTC+	CTC-
Recurrences	20 / 143	67 / 1359
Mean Survival Time	36.8 mon	38.1 mon

## CTCs before Chemotherapy Overall Survival

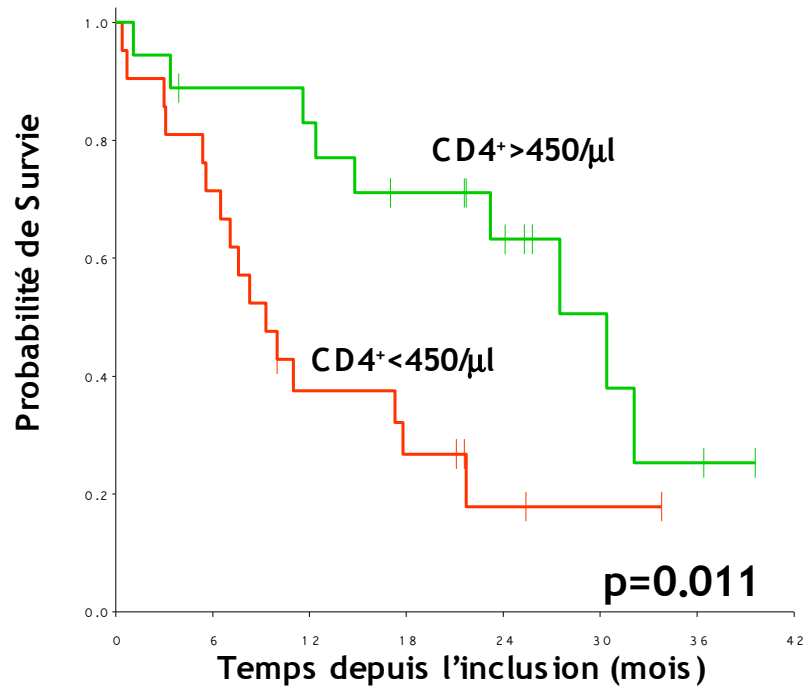


	CTC+	CTC-
Deaths	8 / 143	25 / 1359
Mean Survival Time	37.2 mon	40.8 mon

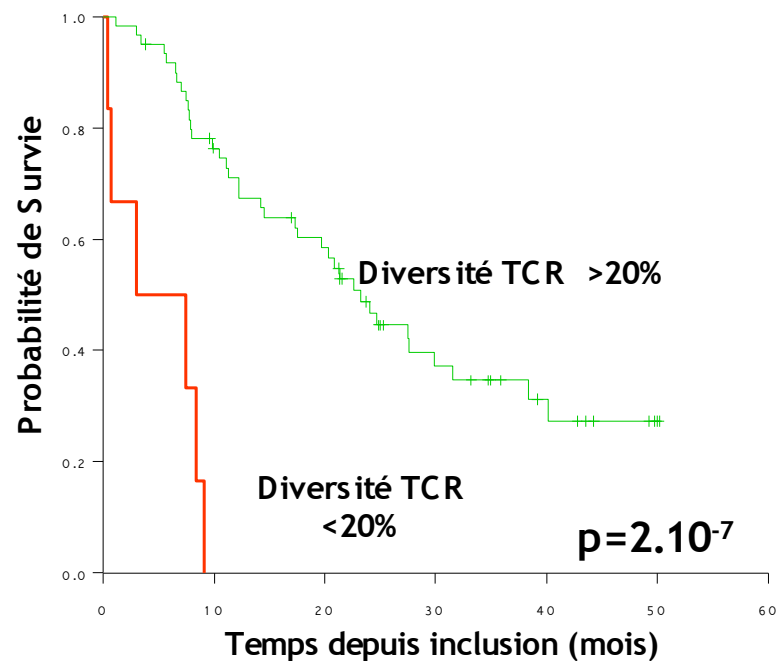




# La diversité du répertoire TCR est hautement prédictive de la survie globale chez les patientes en rechute d'un cancer du SEIN



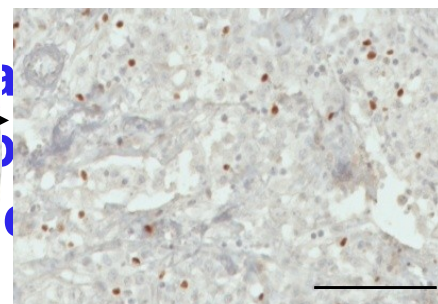
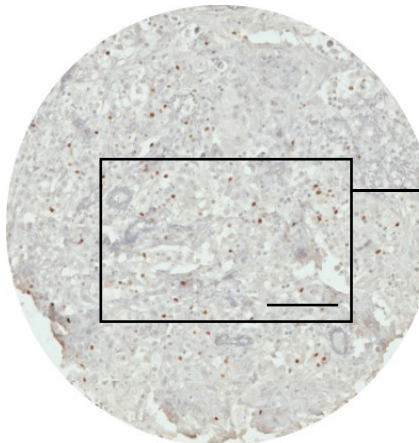
Diversité du répertoire TCR (N=66)



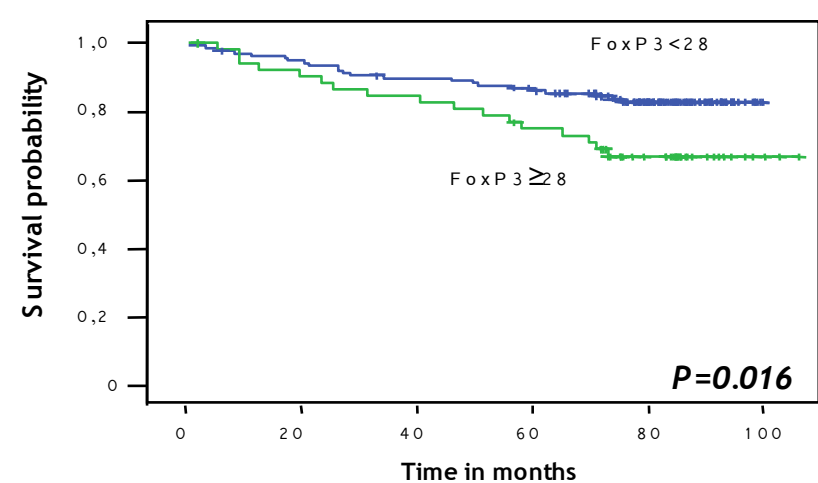
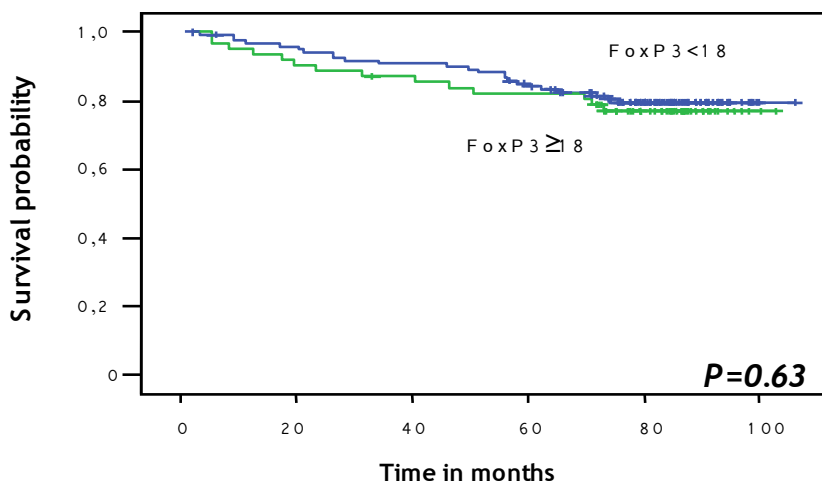
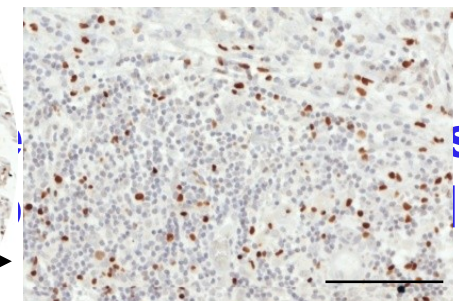
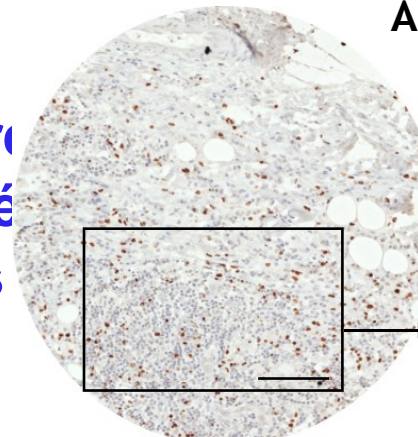
Immun iT  
TECHNOLOGIES

Brevet "TCR diversity allows to identify high risk patient relapsing from breast cancer eligible for innovative therapy"  
M Manuel, C Ménétrier-Caux et coll.

**Zone tumorale**

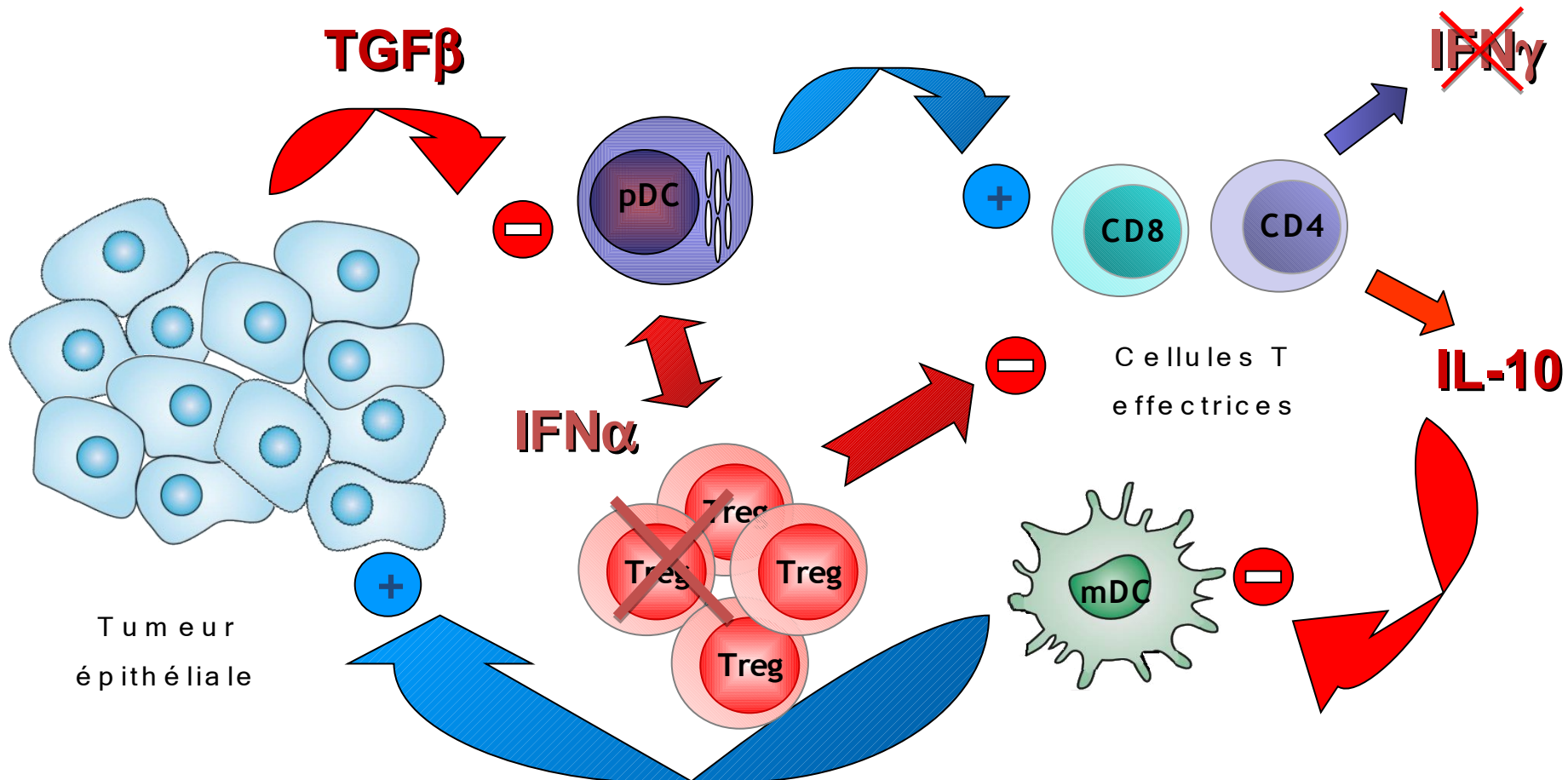


**Aggrégats lymphoïdes**





# Les pDC sont au centre du réseau immuno-supresseur dans l'environnement tumoral du cancer du SEIN



Ménétrier-Caux C, Cancer Research 2009  
Sisirak V, Faget J, Bendriss-Vermare N soumis our publication  
Faget J, Ménétrier-Caux C en préparation

**pDC** : DC plasmacytoides  
**mDC** : DC myéloïdes